

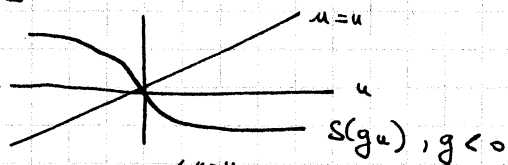
Correction TD 3

1) $u = -u + S(gu)$ - Points fixes : $u = S(gu)$.

* 0 est toujours un point fixe - Stabilité : on étudie le signe de la jacobienne en 0 : $-1 + g S'(0) = g - 1$.

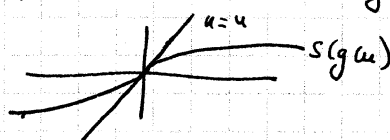
- si $g > 1 \Rightarrow$ le point fixe 0 est instable.
- si $g < 1 \Rightarrow$ le point fixe est stable.

* si $g < 0$: un seul point fixe 0.

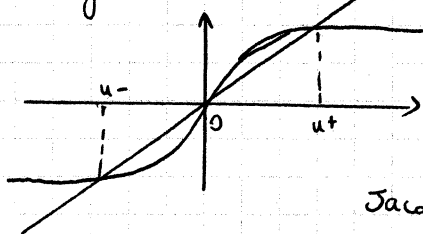


* si $0 < g < 1$, un seul point fixe 0 :

par convexité de $u, S(gu)$ pour $u > 0$.



* si $g > 1$, alors on a 3 points fixes : 0, u^+ et $u^- = -u^+$.



On a $S(g(u^+ + \epsilon)) < u^+ + \epsilon$ et $S(gu^+) = u^+$

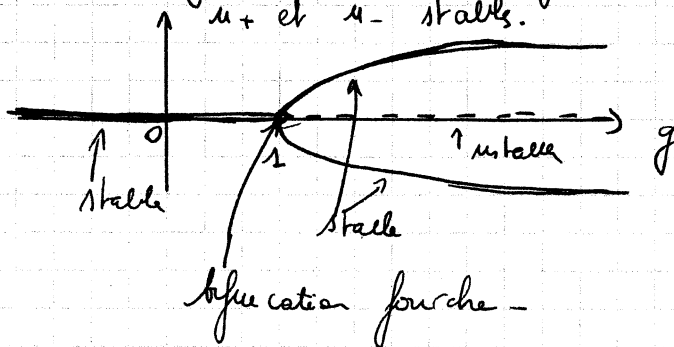
$$\Rightarrow 0 < \frac{S(g(u^+ + \epsilon)) - S(gu^+)}{\epsilon} < 1$$

$$\text{Jacobienne en } u^+ : -1 + \frac{d}{du} S(gu) \Big|_{u=u^+} < 0$$

\Rightarrow stable - Idem pour u^- .

Conclusion :

- $g < 1$: un seul point fixe 0 qui est stable
- $g > 1$: 3 points fixes $u^- < 0 < u^+$, 0 est instable, u^+ et u^- stables.



2) $(0,0)$ est un équilibre. Jacobienne: $\begin{pmatrix} -1 + g & g \\ -g & -1 + g \end{pmatrix}$.

Partie réelle de valeurs prop: $\frac{\text{Trace}}{2} = -1 + g$.

- Pour $g < 1$, le point $(0,0)$ est stable
- Pour $g > 1$, le point $(0,0)$ est instable,

en $g = 1$, le ~~pas~~ système a une bifurcation de Hopf.

Partie imaginaire = g , ~~2~~ $\frac{\partial \text{Partie réelle}}{\partial g} = 1 \neq 0$

Premier coeff de Lyapunov :

$$\begin{cases} \dot{u}_1 = (g-1)u_1 + gu_2 + (S(gu_1) - gu_1 + S(gu_2) - gu_2) \\ \dot{u}_2 = (g-1)u_2 - gu_1 + (S(gu_2) - gu_2 - S(gu_1) + gu_1) \end{cases}$$

Formule de l'exo 5 \Rightarrow

$$L(0) = \frac{g^3}{16} \left(\underset{\uparrow}{S^{(3)}(0)} + \underset{\uparrow}{S^{(3)}(0)} + \underset{\uparrow}{S''(0)}^2 + \underset{\uparrow}{S''(0)}^2 \right)$$
$$= \frac{-g^3}{4} \neq 0$$

\Rightarrow Le système a une bifurcation de Hopf non-critique \Rightarrow un cycle stable. (oscillations stables).

\Rightarrow Le réseau crée une activité oscillatoire

Corrections TD 3

Exercice 2:

1) $F_\mu(x) = \mu x(1-x) \Rightarrow \frac{\partial F_\mu}{\partial x} = \mu - 2\mu x, \quad \frac{\partial^2 F}{\partial x^2} = -2\mu, \quad \frac{\partial F}{\partial x \partial \mu} = 1 - 2x$

Points fixes: $F_\mu(x) = x$, i.e.: $x(\mu - 1 - \mu x) = 0$

$\Rightarrow \textcircled{0}$ 0 est point fixe de multiplicité μ .

stable pour $\mu \in (-1, 1)$, instable si $|\mu| > 1$

\Rightarrow bifurcations possibles en 1 et -1.

• En $\mu = 1$, $\frac{\partial F}{\partial \mu} = 0 \Rightarrow$ pas de condition de transversalité (non générique) = "TRANS-CRITIQUE" (Échange de stabilité)

• En $\mu = -1$, $\frac{\partial F}{\partial x} = \mu = -1, \quad \frac{\partial^2 F}{\partial x^2} = 2, \quad \frac{\partial F}{\partial x \partial \mu} = 1 \neq 0 \Rightarrow \frac{\partial^2 F}{\partial x^2} \neq 0$
condition de transversalité. \Rightarrow "CLAPÉ"

$\textcircled{*}$ $\frac{\mu-1}{\mu}$ pt fixe, multiplicité $[2-\mu]$

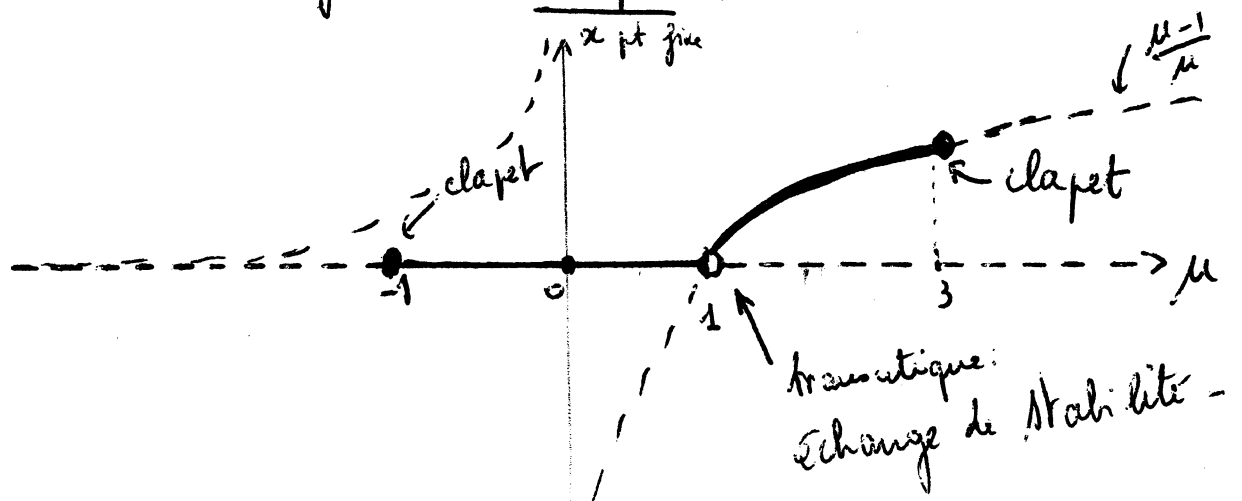
stable pour $\mu \in (1, 3)$ - Bifurcations possibles en 1 et 3.

• Pour $\mu = 1$, $\frac{\mu-1}{\mu} = 0 \Rightarrow$ 1 seul point fixe 0 et les conditions de transversalité en ce pt ne sont pas vérifiées.

• Pour $\mu = 3$, $\frac{\mu-1}{\mu} = 2/3$, la multiplicité vaut -1

$\frac{\partial F}{\partial x} = 3 - 2 \times 3 \times 2/3 = -1, \quad \frac{\partial^2 F}{\partial x^2} = -6 \neq 0, \quad \frac{\partial F}{\partial x \partial \mu} = -1/3 \neq 0, \quad \frac{\partial^2 F}{\partial x^2} \neq 0$

\Rightarrow Bifurcation "clapet".



(2) $F_\mu(x) = x^2 + \mu$.

Equilibs : $\circ \mu < 1/4 \Rightarrow$ 2 points fixes : $1/2 \pm \sqrt{1/4 - \mu}$

$\circ \mu = 1/4 \Rightarrow$ 1 point fixe : $1/2$

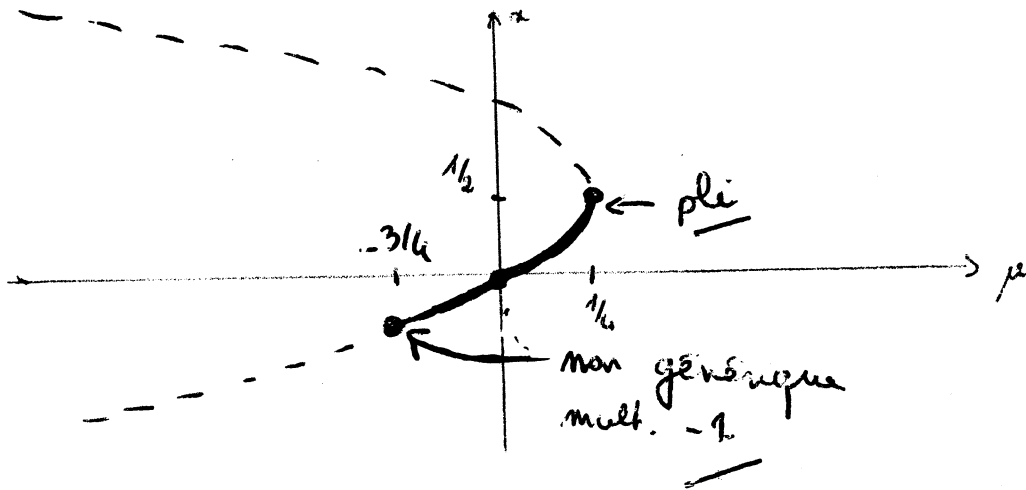
$\circ \mu > 1/4 \Rightarrow$ pas de point fixe

stabilité : $F'_\mu(x) = 2x \Rightarrow$ Pour $\mu < 1/4$, $1/2 + \sqrt{1/4 - \mu}$ est instable
 et $1/2 - \sqrt{1/4 - \mu}$ est stable pour $1/4 > \mu > -3/4$

\circ en $\mu = 1/4 \Rightarrow$ on passe de 0 à 2 pts fixes \Rightarrow "naissance" : un "pli"
 conditions du théorème :

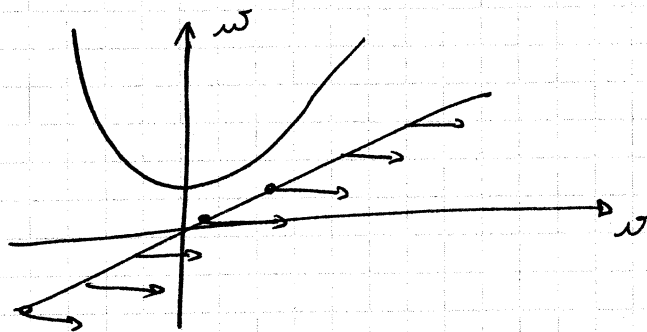
$\underline{F'_\mu = 1}$ $\frac{\partial^2 F_\mu}{\partial x^2} = 2 \neq 0, \frac{\partial F}{\partial \mu} \neq 0 \Rightarrow$ bifurcation pli

\circ en $\mu = -3/4 : F'_\mu(1/2 - \sqrt{1/4 - \mu}) = -1$, mais $\frac{\partial^2 F}{\partial \mu \partial x} = 0 \Rightarrow$
 ce n'est pas un closet.



Exo 3: Modèle d'Zelikovich.

1)



I grand

Dans la zone $\{w \leq bv\}$, le champ de vecteur est rentrant, donc les orbites ne traversent jamais la frontière et le système partant d'une condition initiale dans cette zone y reste.

Nulclési: $w = v^2 + I$
 $w = bv$

Pt fixe: $v^2 - bv + I = 0$

$\Delta = b^2 - 4I$. Pas de solution pour $\Delta < 0$

\Rightarrow quand I assez grand ($I > b^2/4$).

2) $w_0 < bv_0 \Rightarrow \forall t \geq t_0, w(t) \leq bv(t)$

$\frac{dw}{dt} = v^2 - w + I \geq v^2 - bv + I$

On s'intéresse à l'équation $\dot{z} = z^2 - bz + I$.

Elle s'intègre et on peut montrer facilement que la solution explose en temps fini. Par Gronwall, on a:

$w(t) \geq z(t)$ où $z(t)$ sol. de $\begin{cases} \dot{z} = z^2 - bz + I \\ z(0) = v_0 \end{cases}$

$\Rightarrow v$ explose en temps fini aussi.

3) $S(t) = w(t) - W(v(t)) - \frac{dS}{dt} = \dot{w} - \frac{dW}{dv} \dot{v} = 0$, et $S(t_0) = 0$

Dans $\forall t \geq t_0, S(t) = 0$.

(cette fonction car W est bien définie car $v^2 - w + I$ ne s'annule jamais dans la zone $w \leq bv$).

4) Dans la zone $w \leq bv$, on a $\dot{w} \geq 0 \Rightarrow w(t) \geq w(t_0)$

$\frac{dW}{dv} = \frac{a(bv - W)}{F(v) - W + I} \geq \frac{a(bv - W)}{F(v) - W(t_0) + I}$

linéaire en W , à coefficients variables.

On s'intéresse à l'éq:

$\frac{dz}{dv} = \frac{a(bv - z)}{F(v) - w_0 + I}$

qui est une équation

$$z(\nu) = \left(\int_{\nu_0}^{\nu} \frac{abu}{u^2 - \omega_0 + i} e^{-g(u)} du + \omega_0 \right) e^{g(\nu)}$$

avec $g(\nu) = - \int_{\nu_0}^{\nu} \frac{a}{u^2 - \omega_0 + i} du$. Cette fonction est intégrable,

$$g(\nu) \xrightarrow{\nu \rightarrow \infty} g_{\infty} \quad - \quad \text{L'intégrande} \quad \frac{abu}{u^2 - \omega_0 + i} e^{-g(u)} \underset{\nu \rightarrow \infty}{\sim} \frac{ab}{u} e^{-g_{\infty}}$$

qui n'est pas intégrable.

$$\Rightarrow z(\nu) \xrightarrow{\nu \rightarrow \infty} \infty$$

Par le lemme de comparaison, $w(\nu) \geq z(\nu)$ donc $w(\nu) \xrightarrow{\nu \rightarrow \infty} \infty$ \square

Exercice 4

$$F(x) = \alpha x e^{-x}, \quad \begin{cases} \frac{\partial F}{\partial x} = \alpha (e^{-x} - x e^{-x}) \\ \frac{\partial^2 F}{\partial x^2} = \alpha (-2e^{-x} + x e^{-x}) \\ \frac{\partial^3 F}{\partial x^3} = 3(3e^{-x} - x e^{-x}) \\ \frac{\partial^2 F}{\partial x \partial \alpha} = e^{-x} - x e^{-x} \end{cases}$$

$$\boxed{\begin{matrix} \alpha > 0 \\ \alpha > 0 \end{matrix}}$$

1) points fixes : $\begin{cases} x = 0 \quad \forall \alpha \\ x = \log(\alpha) \quad \forall \alpha > 0 \end{cases}$

on considère que des fois $x > 0 \Rightarrow$ le 2^e pt fixe existe pour $\boxed{\alpha > 1}$

stabilité : $\alpha = 0 : \frac{\partial F_x}{\partial x}(x=0) = \alpha \Rightarrow$ change de stabilité pour $\boxed{\alpha = 1}$

$\alpha = \log(\alpha) : \frac{\partial F_x}{\partial x}(\log \alpha) = 1 - \log(\alpha)$

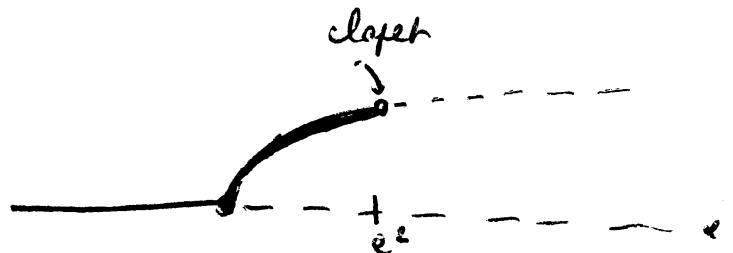
$\forall \alpha < e^2, x = \log(\alpha)$ est stable, $\forall \alpha > e^2$, il est instable

2) $\alpha = e^2, x = 2$, on a : $\frac{\partial F}{\partial x} = -1$

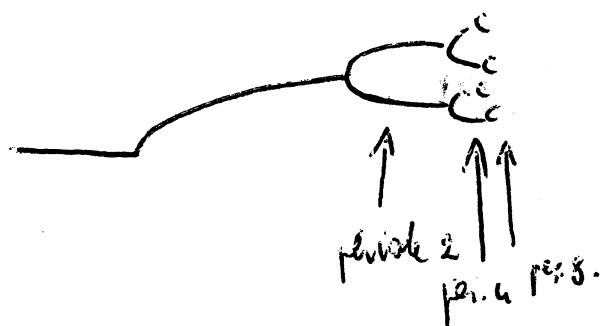
$\frac{1}{2} \left(\frac{\partial^2 F_x}{\partial x^2} \right)^2 + \frac{1}{3} \left(\frac{\partial^3 F_x}{\partial x^3} \right) = \frac{1}{3} \neq 0$

$\frac{\partial^2 F_x}{\partial x \partial \alpha} = -e^{-2} \neq 0$

\Rightarrow on a un clapet -



pt périodiques :



TD3

Exo 5.

1) b) Candidat bifurc. de Hopf: $(\begin{smallmatrix} v^* \\ z^* \end{smallmatrix})$ tq: *

* pt fixe si: $F(v^*) - b v^* = 0$

* op points lin. purs $\Leftrightarrow \begin{cases} \det(\text{Jac}(f(v^*))) > 0 \\ \text{Tr}(\text{Jac}(f(v^*))) = 0 \end{cases} \Leftrightarrow \begin{cases} F'(v^*) = a \\ b > a \end{cases}$

(b) Changement de variable. On vérifie bien que $f(x, y) = O(\|(x, y)\|^2)$
 $g(x, y) = O(\|(x, y)\|^2)$

(c) Application de la formule donnée avec $f(x)$ et $g(x)$ du (1. b).

2) a) idem.

\rightarrow bifurc de Hopf si $\exists (\begin{smallmatrix} v^* \\ z^* \end{smallmatrix})$ tq: $\begin{cases} F(v^*) = G(v^*) \\ z^* = F(v^*) \end{cases}$

Jacobien: $\begin{pmatrix} F'(v^*) & -1 \\ aF'(v^*) & -a \end{pmatrix} \Rightarrow \begin{cases} F'(v^*) = a \\ G'(v^*) > a \end{cases}$

(b) Changement de variable: $\begin{cases} \dot{x} = F(x) + \text{termes linéaires et constants} \\ \dot{y} = \frac{a}{\omega}(G(x) - F(x)) + \dots \end{cases} \left. \begin{matrix} v - v^* = x \\ z - z^* = y \end{matrix} \right\}$

(c) application de la formule \Rightarrow

$\left[F'' + \frac{F''(F'' - G'')}{G' - a} \right]$ donne la stabilité.

3) Idem avec le changement de variable:

$\begin{cases} v - v^* = x \\ (z - z^*)/(v+1) = F'(v^*)x - \omega y \end{cases}$

$\rightarrow \left(F'' + a - \frac{(F'' - a)(1 + a[G'' - F'' + 2a])}{\omega^2} \right)$